論文 炭素繊維シートでせん断補強された RC 梁のせん断抵抗性状に 関する非線形有限要素解析

余湖 兼右*1·後藤 康明*2·城 攻3

要旨:炭素繊維シート補強を行った梁を対象として,汎用有限要素解析ソフトを用いて,炭素繊維シートによるせん断補強効果を解析的に再現することを目的として3次元非線形有限要素解析を行った。炭素繊維シートとコンクリート間の応力伝達は最大耐力時の実験観察結果より梁断面コーナー部分で行われると仮定してモデル化を行った。その結果,荷重変形関係において解析値と実験値において良い対応を示した。また,補強によるコンクリート圧縮ストラット応力分布の変化を示した。

キーワード:鉄筋コンクリート,耐震補強,炭素繊維シート,有限要素解析

1. はじめに

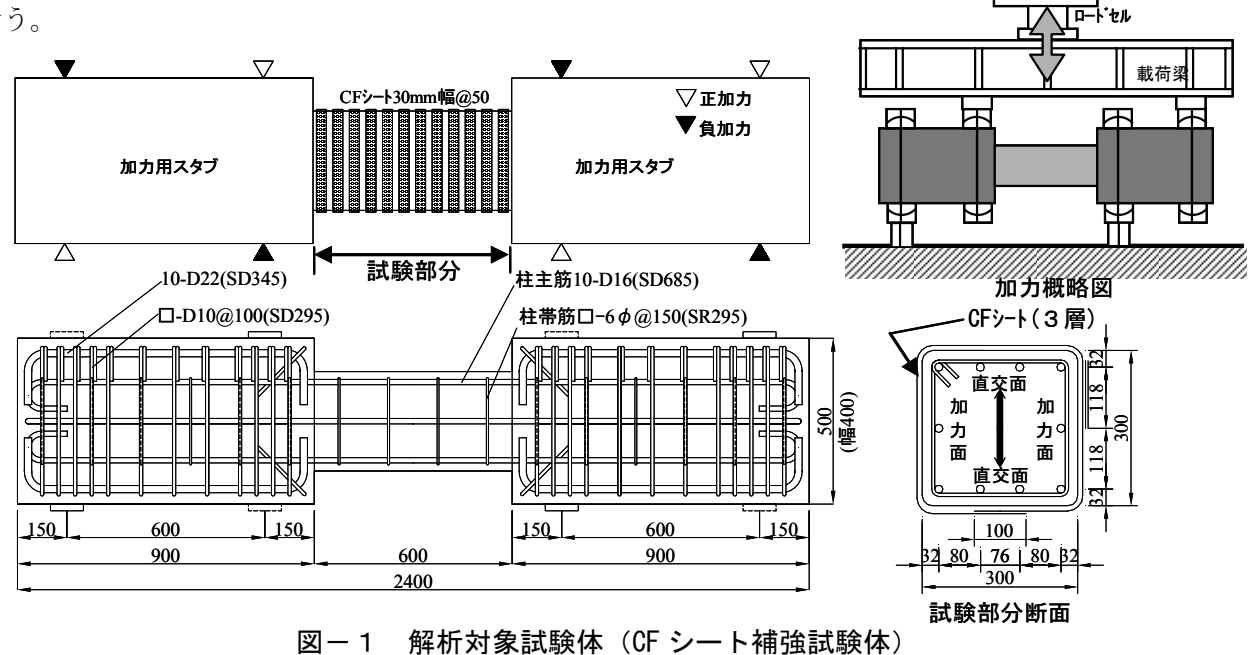
既存 RC 建物の耐震補強方法を開発する目的で、当研究室では 1995 年から柱や耐震壁を対象に炭素繊維シート(以下、CF シート)を利用した補強・補修方法を実験的に検討してきた。本研究は CF シート補強を行った梁型試験体を対象として、汎用有限要素解析ソフト ATENA (ver.3.2.6)を用いて、CF シートを用いた梁の荷重変形挙動を数値解析的に再現することと、せん断抵抗性状を解析的に把握することを目的として解析を行う。

2. 解析対象試験体およびモデル化

2.1 対象試験体

解析対象試験体は当研究室で1997年度に行った CF シートによる補強方法をパラメータとした梁型試験体である¹⁾。試験機の都合で試験体形状は梁型であるが、実建物対象部位としてはシアスパン比1.0程度の短柱を想定している。**図ー**1に解析対象試験体概要を示す。基準となる無補

アクチュエータ



- *1 NTT ファシリティーズ 建築事業本部 工修 (正会員)
- *2 北海道大学大学院教授 工学研究科 空間性能システム専攻 工博 (正会員)
- *3 北海道大学名誉教授 工博 (正会員)

強試験体 BS は、断面は $300 \text{mm} \times 300 \text{mm}$ の正方形で柱高さは 600 mm である。主筋には 10 -D16 ($p_g = 2.21\%$, SD685)、せん断補強筋には $\Box - 6 \phi$ @ $150 (p_w = 0.124\%)$ を用い、コンクリートには設計基準強度 20 MPa の低強度のものを使用してせん断破壊が先行するように断面設計をしている。補強試験体 BS-3A は $\Box - 1$ に示す通り CF シートの無い無補強試験体 BS を基に、柱コーナー部分を r = 20 に面取した後、断面外周に 30 mm 幅の CF シートを 50 mm ピッチで 3 層巻き付けて補強した($p_f = 0.133\%$)。

2.2 試験体のモデル化

図-1の試験体に対して、CF シートの補強効 果を考慮できる立体解析のモデル化を行った。 図-2に解析モデル図を示す。モデルの寸法は実 験試験体と一致している。8節点ソリッド要素を 用い, 試験部分では基本的に 1 辺が 50mm の立 方体となるように要素分割した。加力用スタブ は1辺が100mmの立方体とした。加力鉄板は4 節点ソリッド要素を用いた。鉄筋は試験体製作 図に基づき全鉄筋を忠実に埋込み鉄筋要素でモ デル化した。鉄筋の付着モデルには CEB-FIP'90 モデルの鉄筋拘束条件と本試験体の鉄筋拘束状 況との対応を考慮し, 主筋については拘束条件 を「Unconfined」,付着条件を「All other conditions」 とし, 帯筋と加力用スタブの主筋については破 壊状況から判断して完全付着とした。支持条件 は,実験時と同様に載荷および支持位置の加力 鉄板をモデル化し左下端を水平・鉛直方向を固 定し(ピン支持), 右上端位置は鉛直方向を固定し た(ローラー支持)。実験時には試験体上部に加力 用の載荷梁を設けて大野式逆対称加力を行ったが、解析では内側の加力点に逆対称に鉛直方向強制変位を与えて、実験時と同じ変形状態となるようにした。実験では繰り返し加力を行ったが解析では単調載荷とし、強制変位量は 15Stepまでは 0.025mm/Step, 以降は 0.05mm/Step としR=1/25 程度まで加力を行った。

2.3 材料および構成則

材料特性値は表-1~3に示すように基本的に実験時に行った材料試験の値を用いた。コンクリートの応力-ひずみ関係は圧縮上昇域にCEB-FIP'90の提案式を用い、ひずみ軟化域は塑性変位 wd を定義して決まる直線とした(図-3)。 wdの算出ではNakamuraら²⁾の圧縮破壊エネルギー(Gfc)を用い、要素寸法 L は試験部分のコンクリート要素と体積が等価な球の直径とした。引張上昇域は引張強度まで線形で表し、軟化域はHordijkの実験に基づく指数関数を用いて破壊エネルギーを考慮して表現した。せん断剛性はKolmar 則³⁾を用いて、ひび割れ後の剛性低下を考慮した。鉄筋の応力ひずみ関係はバイリニア型とした。加力用スタブ部分は弾性としてコンクリート弾性係数を与えた。

2.4 CF シートのモデル化

CFシートのモデル化にあたっては実際の設計 厚さである 0.333mm(3 層分)を厚さとしコンクリート要素に合わせて 25mm 四方の要素寸法で他の材料と同様に 8 節点ソリッド要素でモデル化した。実験時においては最終変形状況に至るまでに CFシートの破断が見られなかったので,解析上は弾性要素とし取り扱った。また,実験時

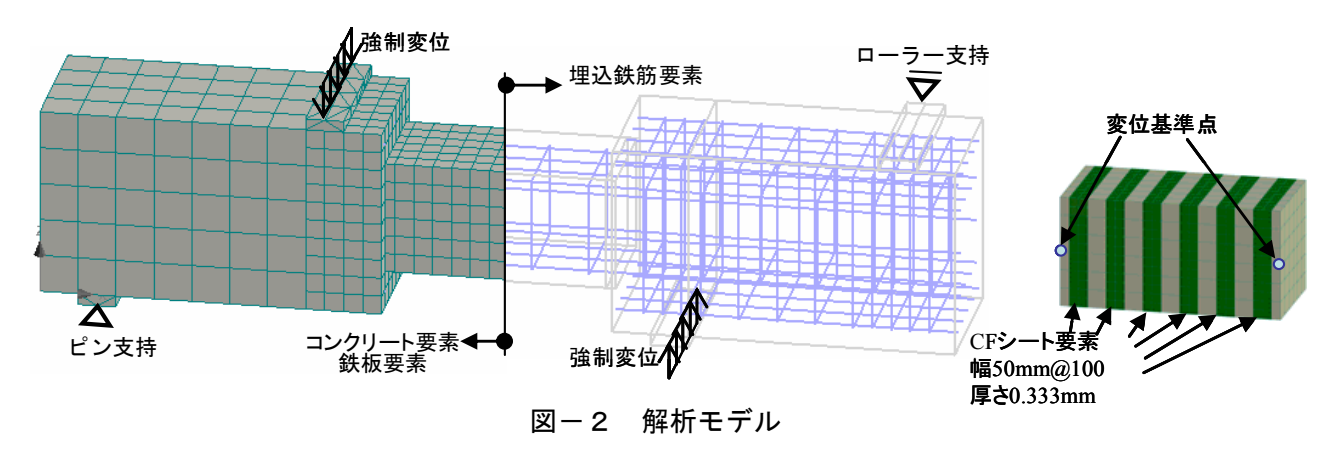


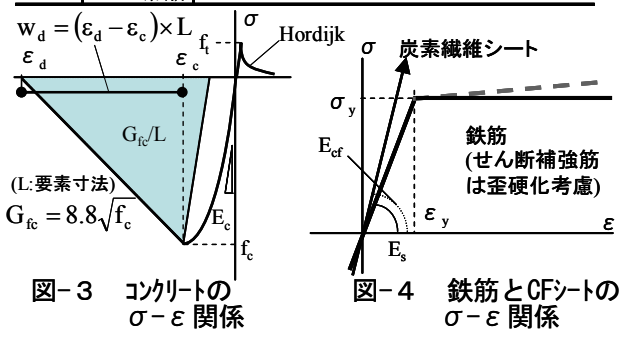
表-1 コンクリートの材料特性値

| 解析モデル | E _c (GPa) | ν | F _{cu} (MPa) | f _c (MPa) | ε _c | w _d (mm) | f _t (MPa) | $G_F(N/mm)$ |
|-------|----------------------|-----|-----------------------|----------------------|----------------|---------------------|----------------------|-------------|
| BS | 19.3 | 0.2 | -22.2 | -18.9 | -2.538E-03 | -3.794 | 1.98 | 4.745E-05 |
| BS-3A | 18.6 | 0.2 | -21.4 | -18.2 | -2.625E-03 | -3.861 | 1.90 | 4.626E-05 |

 ν :ポアソン比, F_{cu} :Cube Strength, G_F :引張破壊エネルギー その他の記号は \mathbf{Z} -3参照のこと。

| 表-: | 2 £ | 失筋(| <u> </u> | 科特 | <u>性値</u> | |
|-----|-----|-----|----------|----|-----------|--|
| | | | | | | |

| 鉄筋 | 使用位置 | σ _y (MPa) | E _s (GPa) | ε _y | $A_s(mm^2)$ |
|-----|--------|----------------------|----------------------|----------------|-------------|
| D16 | 主筋 | 767 | 204.5 | 3.75E-03 | 194 |
| 6φ | せん断補強筋 | 367 | 216.3 | 1.70E-03 | 28.4 |
| D22 | スタブ主筋 | 382 | 163.2 | 2.34E-03 | 371 |
| D10 | スタフ・帯筋 | 369 | 185.8 | 1.99E-03 | 67.4 |

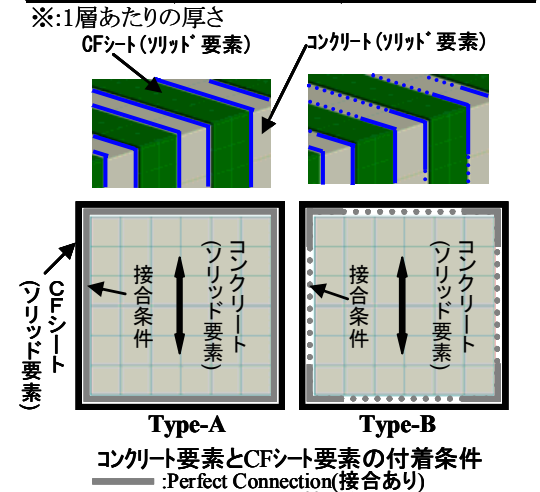


には幅 30mm のシートをピッチ 50mm(全 12 段) で貼り付けていたのを解析では、コンクリート要素の分割に合せる都合により、幅 50mm, ピッチ 100mm(全 6 段)とした。

2.5 CF シートとコンクリートの付着のモデル化

実験試験体において CF シートは専用のエポ キシ系樹脂を繊維に含浸させながらコンクリー ト表面に巻きつけている。よってコンクリート 表面と CF シートはエポキシ系樹脂により接着 されている状態となっている。実験時の観察に おいて最大耐力時および大変形時にはこの接着 は切れていることが観察されており、CFシート の負担せん断力は柱断面コーナー部分(定着部 分)における支圧力によってコンクリートに伝達 すると考えられる。今回の解析においては図-5 に示すように全領域でコンクリートと CF シー トを接合したモデル(Type-A)と, 断面コーナー部 分においてのみ両要素を連続させ, それ以外の 部分については要素間の縁を切り非接合とした モデル(Type-B)との 2 種類について解析を行っ た。実際の試験体においては断面コーナー部分 に CF シートの応力集中を低減させる目的で r=20mmの面取りを設けてあるが、解析モデルで は考慮していない。

表-3炭素繊維シートの材料特性値設計厚さ(mm)設計強度(MPa)設計弾性率(GPa)0.111**3480231



******:No Connection(接合なし)
図-5 コンケリート要素とCFシート要素の付着条件

3. 解析結果および考察

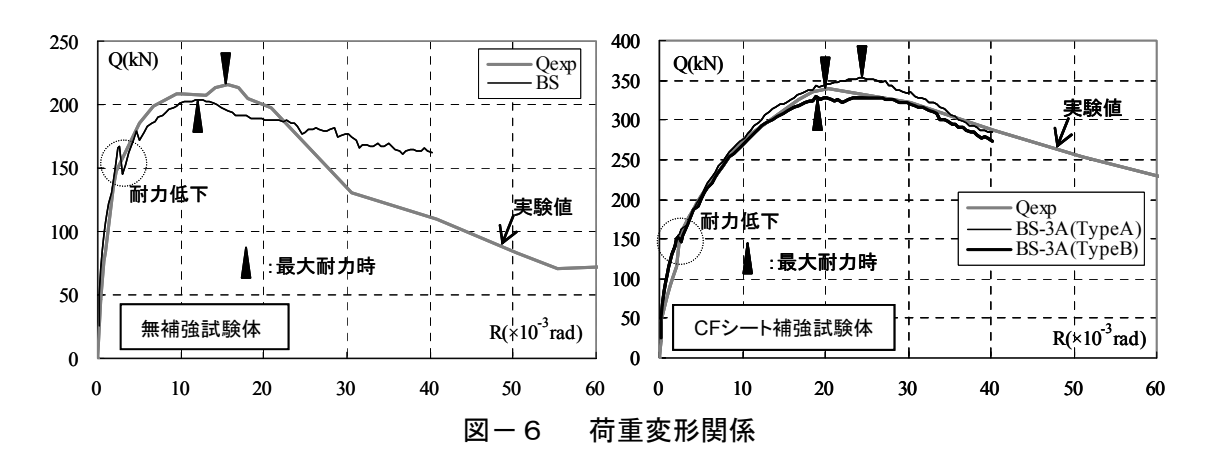
3.1 荷重変形関係

図-6に各試験体の荷重変形関係を実験値(正加力時包絡線)と比較して示す。荷重 Q は加力鉄板位置での支点反力を合計した値,層間変形角 R は実験値との整合を計るために,加力スタブの回転を考慮し変位基準点の相対変位を 2 倍した値を柱高さで除した値である。

各解析ケースとも解析値は実験値に近い挙動 となった。最大耐力解析値は無補強試験体(BS) では6%ほど耐力値が低くなり、ピーク付近にお いては全体的に実験値より低い荷重で推移した。

補強試験体(BS-3A)については耐力解析値は Type-A が高く Type-B は低くなったが, どちらの ケースにおいてもその最大耐力の実験値との差は 5%未満であり, 耐力値を精度よく評価できて いると考えられる。

無補強試験体(BS)は R=2.95x10⁻³rad 時に実験 時に現れなかった耐力低下が生じた。また,実 験時には最大耐力以降急激に耐力低下を示した が,解析では緩やかに耐力が低下する傾向を示 し、急激な耐力低下は再現できていない。補強



試験体(BS-3A)については $R=10x10^3$ rad 程度までは解析値と実験値はほぼ同じ値を示し、 $R=10x10^3$ rad 以降は Type-A は実験値より高めに、Type-B は実験値より低めに推移した。

最大耐力以降については Type-A がなだらかに耐力低下を示したのに対し、 Type-B では $R=30x10^3$ rad 付近まで最大耐力値をほぼ保ったまま推移した後、耐力低下を示した。全般的にはどちらのタイプにおいても実験結果をよく再現できていると考えられる。

3.2 破壊性状

無補強試験体(BS)の荷重変形関係において, R=2.95x10⁻³rad 付近の実験時に現れなかった耐 力低下は,このステップ前後においてスパン中 央部分にせん断ひび割れが生じ, 試験部分の対 角線上にひび割れ発生領域が拡大する傾向が見 られた。同じステップにおいてせん断補強筋が 降伏耐力に達している。主筋の付着応力度につ いては付着強度以下で推移しており顕著な抜け 出しは認められず、降伏にも至っていなかった。 補強試験体(BS-3A)では無補強試験体(BS)で見 られた R=2.95x10⁻³rad 付近の耐力低下が Type-A では認められなかった。Type-B では耐力低下が 見られたものの, その低下量は無補強試験体 (BS)のものより小さかった。ひび割れ発生の耐 力低下時に無補強試験体(BS)では試験部分にあ る 4 本すべてのせん断補強筋に降伏が見られた が、補強試験体(BS-3A)ではどちらのタイプにお いてもスパン中央寄りの 2 本のみが降伏してい るだけだった。これは断面外周部の CF シートの 存在によりせん断ひび割れの拡幅が抑制された

ことによるものと考えられる。なお最大耐力時においてはすべてのせん断補強筋が降伏していた。実験時における補強試験体(BS-3A)のせん断補強筋の降伏は $R=3x10^{-3}$ rad付近から始まっており,解析における耐力低下ポイントとほぼ同じ部材角であった。

3.3 コンクリート主応力分布

図-7に最大耐力時の試験部分のコンクリー ト主応力分布を示す。無補強試験体(BS)は部材 端の圧縮域付近で一軸圧縮強度に達しているが, 対角線上のコンクリート要素では一軸圧縮強度 の半分程度の応力度にとどまっている。一方, 補強試験体(BS-3A)では対角線上の領域でほぼ 一軸圧縮強度に達している部分が多く見られ, 無補強試験体(BS)よりも圧縮ストラットが明瞭 に形成されている。スパン中央付近の断面の主 応力分布は無補強試験体(BS)では幅方向にはほ ぼ一様の圧縮主応力度であるが、補強試験体 (BS-3A)では加力方向の A, B 面付近の主応力が 大きくなった。これは CF シート引張力の反力が 断面コーナー部分から伝達してきたものと考え られる。この主応力は断面中心の要素ほど小さ くなった。補強試験体のモデル化の違いについ ては、どちらのタイプもほぼ同様の主応力度お よび分布形状を示しており明確な差異は認めら れない。

3.4 CF シートの耐力分担

図-8に最大耐力時の CF シート最大主歪分布 図を,図-9に最大耐力時および解析における最 終変形時の CF シート歪を示す。図-9において 実験時の値は各方向両面の CF シート中央位置 に直接貼付けた歪ゲージの平均値であり、解析値は歪ゲージ位置周辺の4つの要素の積分点(合計 32 点)における繊維引張方向の歪を平均したものである。実験時において見られた部材両端部分では歪度が小さく、スパン中央に至るにつれて歪度が大きくなる傾向が解析によっても現れている。全列のCFシート歪を平均すると実験では加力方向で0.46%であったのに対し解析では、Type-Aが0.45%、Type-Bでも0.42%となっており、CFシートの補強効果についても実験結果と対応している。Type-AとType-Bを比較する

と、最大耐力時の部材角が大きかった分、Type-A の方が歪が大きくなったが、歪度の分布形状についてはどちらのタイプについても同じような形状を示した。CF シートの破断歪は 1.5%であるので、最大耐力時においては最も歪が大きいと

B C D

ころでも破断歪の半分程度の

値であった。加力直

交方向の歪については,

CF シート全列の加力

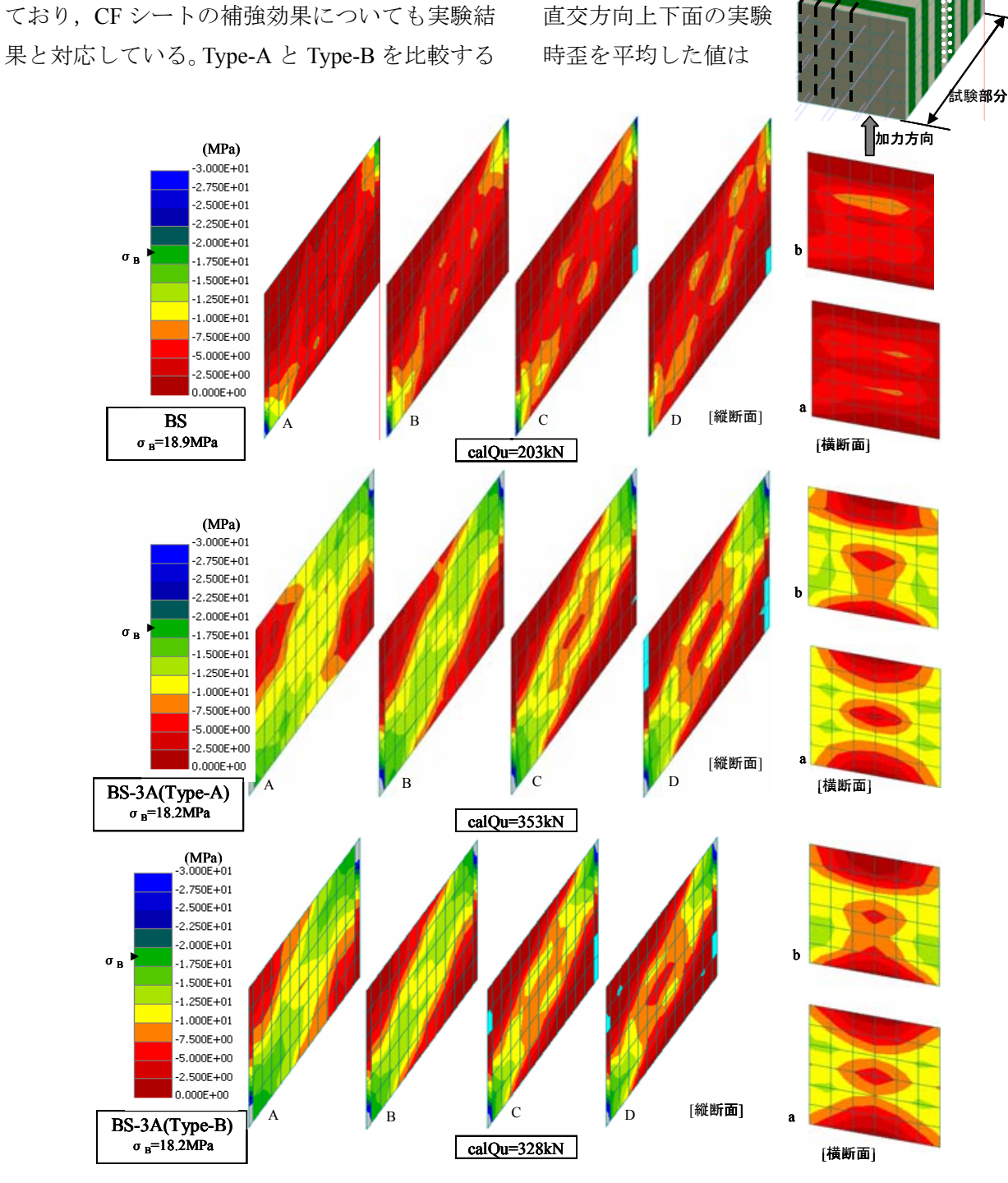


図-7 最大耐力時圧縮主応力分布図

0.32%であったのに対し、Type-A では 0.28%、Type-B では 0.25%と若干小さくなる傾向が見られた。最終変形時の加力方向の歪を見ると、Type-B については全列の CF シート歪が増大したが Type-A ではスパン中央 2 列の CF シート歪が減少した。また最終変形時の加力直交方向の歪が Type-A では最大耐力時とあまり変わらなかったのに対して、Type-B では全体で 5 割ほど歪度の増大が生じた。分布形状については同じような形状を示しているため、加力直交方向の歪度の差は断面コーナー部分における CF シートとコンクリートの応力伝達のモデル化の影響によるものと考えられる。

4. まとめ

炭素繊維シート補強 RC 梁を対象に非線形 3 次元有限要素解析を行い,以下の結果を得た。

1) CF シートを 8 節点ソリッド要素でモデル化 して、補強効果を検討した。その結果、荷重変 形関係、CF シートの歪分布において実験結果と の良い対応が見られた。

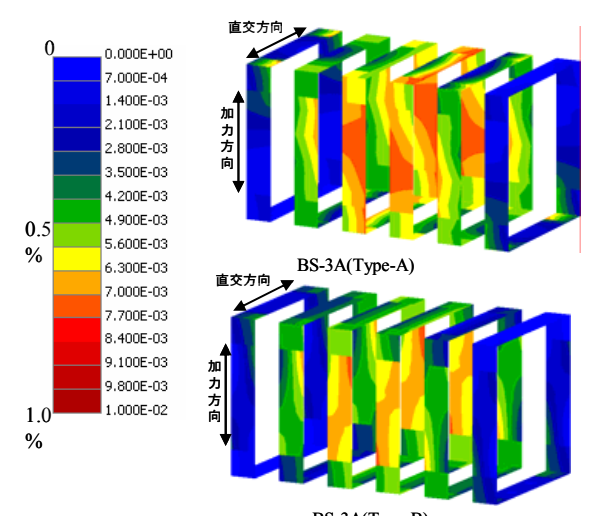
2)解析では、CF シートで補強することにより 対角線上に形成されるコンクリート圧縮ストラットの応力度が大きくなり断面中央と表面部分 での応力分布が変わることを示した。

3)CF シートとコンクリートの付着を全面接合と断面コーナー部分のみの接合で比較したところ断面コーナー部分のみで考慮したモデルの方が、荷重変形関係の対応が若干良い傾向が見られた。また、最終変形時の加力直交方向の CF シート歪に CF シートの接合条件の違いによる影響が見られた。

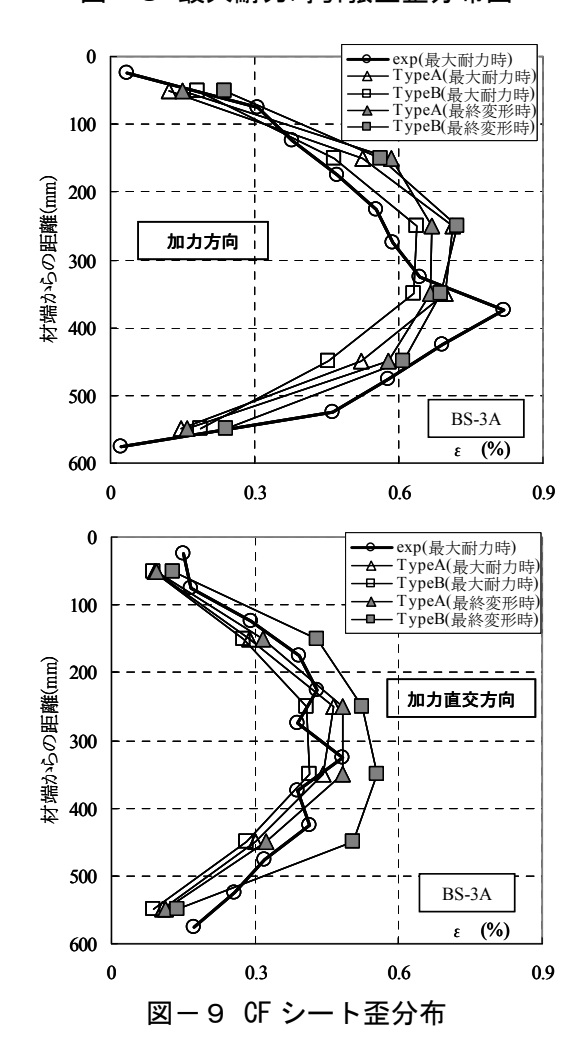
4)最大耐力時における CF シートの耐力分担が最大でも CF シート破断歪の半分程度であるという実験結果を解析的にも示すことができた。

参考文献

1) 城, 北野, 後藤, 余湖: CF シートを用いた 特殊補強を含む RC 柱の剪断抵抗性能, コン クリート工学年次論文報告集, pp.1195-1200,



BS-3A(Type-B)
図-8 最大耐力時引張主歪分布図



Vol.20, No.3, 1998.7

- Nakamura,H and Higai,T.: Compressive Fracture Energy and Fracture Zone Length of Concrete, Seminar on Post-Peak Behavior of RC Structures Subjected to Seismic Loads, JCI-C51E, Vol.2, pp.259-272, 1999. 10
- 3) Cervenka Consulting: ATENA Version 3. Program Documentation Part1 Theory,2005.10